

## مقایسه خواص فیزیکی - شیمیایی نانوالیاف سلولزی

### جداشده از ساقه و پوست کنف

- ❖ **مهدی جنوبی\***: استادیار گروه علوم و صنایع چوب و کاغذ، دانشکده منابع طبیعی دانشگاه تهران، کرج، ایران
- ❖ **احمدرضا سرائیان**: دانشیار گروه صنایع خمیر و کاغذ، دانشکده جنگل‌داری و فناوری چوب، دانشگاه علوم کشاورزی و منابع طبیعی گرگان، گرگان، ایران
- ❖ **یحیی همزه**: دانشیار گروه علوم و صنایع چوب و کاغذ، دانشکده منابع طبیعی دانشگاه تهران، کرج، ایران
- ❖ **علی نقی کریمی**: استاد گروه علوم و صنایع چوب و کاغذ، دانشکده منابع طبیعی دانشگاه تهران، کرج، ایران؛ و استاد انتیتو جنگل و فرآوردهای جنگلی (INTROP)، دانشگاه پوترا (UPM)، مالزی

### چکیده

در این تحقیق، خواص فیزیکی و شیمیایی نانوالیاف سلولزی حاصل از ساقه و پوست کنف با استفاده از تصویربرداری میکروسکوپ الکترونی عبوری (TEM)، طیفسنجی (FTIR)، آنالیز توزین حرارتی (TGA) و پراش پرتو X (XRD) بررسی شد. بدینمنظور، با انجام تیمارهای شیمیایی - مکانیکی، نانوالیاف سلولزی الیاف ساقه و پوست کنف جداسازی شد. روش تولید خمیرکاغذ بر پایه فرایند سودا - آتراسینون همراه با یک فرایند رنگبری سه مرحله‌ای به عنوان تیمار شیمیایی و عملیات پالایش، خردکردن در نیتروژن مایع، و هموژنیزه کردن الیاف تحت فشار بالا به عنوان تیمار مکانیکی به کار گرفته شد. سپس، ابعاد و مورفولوژی نانوالیاف حاصل با استفاده از TEM بررسی شد. نتایج به دست آمده نشان داد قطر نانوالیاف حاصل از پوست کنف ضخیم‌تر از نانوالیاف به دست آمده از ساقه کنف است؛ در حالی که میانگین طول هر دو نوع نانوالیاف حاصل بالغ بر چندین میکرون و تقریباً برابر بود. نتایج بررسی نانوالیاف ساقه و پوست با استفاده از اشعه مادون قرمز نشان داد گروههای فعال موجود در هر دو نوع نانوالیاف یکسان است و اختلاف معنی داری بین آنها مشاهده نمی‌شود. آنالیز حرارتی نانوالیاف جداشده از پوست و ساقه کنف نشان داد پایداری حرارتی نانوالیاف حاصل از پوست به مراتب بیشتر از نانوالیاف استخراج شده از ساقه است. همچنین، اشعة ایکس به خوبی نشان داد تیمارهای شیمیایی - مکانیکی به کار گرفته شده در این تحقیق موجب افزایش درصد کریستالیتی نانوالیاف شده است؛ به طوری که درصد کریستالیتی نانوالیاف حاصل از پوست کنف در حدود ۸۱ درصد، و مقدار آن برای نانوالیاف حاصل از ساقه کنف در حدود ۶۳ درصد بوده است.

**واژگان کلیدی:** درجه کریستالیتی، کنف، نانو الیاف سلولزی، ویژگی‌های حرارتی.

## مقدمه

نیمه کریستالی به نام میکروفیبریل، مستقر احاطه شده با همی سلولزها و لیگنین تشکیل شده است. این میکروفیبریل‌ها شامل زنجیره‌های سلولزی‌اند که با پیوندهای هیدروژنی به یکدیگر متصل شده‌اند. میکروفیبریل‌ها عمدتاً دارای قطری حدود ۳۰ تا ۱۰۰ نانومتر بوده و هر کدام از آن‌ها چند میکرون طول دارند [۸]. از آنجا که نانوفناوری به دانش بررسی ذراتی اطلاق می‌شود که حداقل در یکی از ابعاد خود اندازه‌ای کمتر از ۱۰۰ نانومتر داشته باشد، می‌توان میکروفیبریل‌های سلولزی را نانوالياف نامید [۹، ۱]. نانوالياف سلولزی از دو بخش کریستالی و آمورف تشکیل شده‌اند و خواص مکانیکی بسیار مناسبی مانند مدول الاستیستیته در حدود ۱۵۰ GPa و مقاومت به کشش در حدود ۱۰ GPa دارند [۱۰، ۱۱]. تاکنون، مطالعات مختلفی با هدف استخراج نانوالياف سلولزی از منابع متعدد لیگنوسلولزی مانند چوب، ساقه گندم، کتان، و ساقه برنج صورت گرفته است و روش‌های مختلفی مانند تیمار مکانیکی، روش شیمیایی-مکانیکی، و روش آنزیمی برای جداسازی و استخراج نانوالياف از الیاف لیگنوسلولزی استفاده شده است که در این میان با توجه به خواص نانوالياف حاصل، ترکیبی از روش‌های شیمیایی - مکانیکی مطلوب‌تر به نظر می‌رسد [۱۰، ۱۱].

کتف یکی از منابع الیاف لیگنوسلولزی غیرچوبی محسوب می‌شود که از قابلیت رویش در مناطق گرم‌سیری و نیمه گرم‌سیری برخوردار است. از موارد مصرف نسبتاً جدید الیاف لیگنوسلولزی، استفاده از این الیاف به عنوان مواد تقویت‌کننده چندسازه‌های پلیمری است. در این زمینه با توجه به خواص مکانیکی بسیار مناسب الیاف کتف، مطالعات زیادی در جهت استفاده از این الیاف برای افزایش خواص مقاومتی چندسازه‌های پلیمری صورت گرفته است [۱۲، ۱۳]. از آنجا که اثر تقویت‌کننده‌گی نانوالياف

جداسازی نانوالياف سلولز از الیاف لیگنوسلولزی از زمینه‌های جدید تحقیق در حوزه دانش نانوفناوری است که در سال‌های اخیر مورد توجه محققان قرار گرفته است. ذرات نانوسلولز نه تنها به‌سبب برخورداری از قابلیت منحصر به‌فرد تجدیدشوندگی در طبیعت، بلکه به‌سبب برخورداری از قابلیت جایگزینی الیاف غیرتجددشونده‌ای مانند الیاف شیشه و کربن نیز مورد توجه ویژه محققان بوده است [۳-۱]. به همین سبب، اخیراً کمیسیون اروپا برای ترسیم نقشه راه تحقیق و توسعه در حوزه فناوری نانو و شناسایی زمینه‌های مرتبط و مناسب برای کاربردهای عملی این فناوری در بخش فرآورده‌های چوبی، تحقیقات جامعی انجام داده است. فناوری نانو در بخش الیاف لیگنوسلولزی می‌تواند با تولید فرآورده‌ای‌بی با عملکرد و ارزش افزوده بسیار بالا و استفاده ارزشمند از منابع سلولزی، ابزاری بسیار استراتژیک برای تبدیل صنایع سلولزی از صنایع ناپایدار، مبتنی بر منابع مواد اولیه به صنایع با پایداری بالا، مبتنی بر دانش و فناوری پیشرفته تلقی شود. بر همین اساس، روش‌های جداسازی و استخراج نانوالياف سلولز و استفاده از آن‌ها، به عنوان مواد تقویت‌کننده مواد پلیمری، یکی از مهم‌ترین زمینه‌های تحقیق در دانش نانوفناوری را به خود اختصاص داده است [۶-۴].

در مقایسه با ذرات سلولزی در ابعاد میکرونی، که به طور معمول به عنوان تقویت‌کننده چندسازه‌های پلیمری به کار می‌رond، نانوالياف سلولز به‌سبب برخورداری از مزیت‌های منحصر به‌فردی مانند سطح ویژه بسیار بالا و نسبت قطر به طول زیاد، پتانسیل به مراتب بالاتری برای بهبود خواص مکانیکی - حرارتی چندسازه‌های پلیمری دارد [۷]. دیواره سلولی الیاف سلولزی از واحدهای ساختاری

SP1/4 Japan قرار داده شد تا مقدار مناسبی از اختلاط الیاف حاصل شود. در مرحله بعد، مخلوط حاصل آب کشی شد و کیک خمیر کاغذ با غلظت ۱۰ درصد به دست آمد. کیک الیاف حاصل در درون پالایشگر آزمایشگاهی از نوع PFI Mill قرار داده شد و با تعداد دور ۱۰۰۰۰ (صد هزار) پالایش شد. شایان ذکر است PFI Mill یک پالایشگر آزمایشگاهی است که برای جداسازی میکروفیبریل‌ها از سطح دیواره اولیه الیاف استفاده می‌شود. در مرحله بعد، خمیر حاصله درون مایع نیتروژن غوطه‌ور شد و سپس الیاف یخ‌زده با استفاده از انرژی مکانیکی شدید خرد شدند. با تیمارهای شیمیایی - مکانیکی انجام‌شده تا این مرحله، اگرچه قطر الیاف کاهش می‌یابد، میزان دستیابی به میکروفیبریل‌ها (نانوالیاف) کم است و استخراج کامل نانوالیاف و جداسازی کامل آن‌ها از دیواره سلولی ممکن نیست. بهمین علت، بهمنظر جداسازی کامل نانوالیاف موجود در دیواره سلولی، از یک دستگاه مخلوط‌کن آزمایشگاهی یکنواخت تحت فشار<sup>۱</sup> از نوع AVP-1000 استفاده شد. برای استفاده از این مخلوط‌کن تحت فشار، ابتدا سوسپانسیون الیاف با درصد خشکی ۰/۲ درصد از هر دو خمیر کاغذ پوست و ساقه کنف تهیه شد و سوسپانسیون قبل از ریخته شدن در مخلوط‌کن، به مدت ۲۰ دقیقه در یک همزن مکانیکی قرار داده شد. پس از دستیابی به پراکنش یکنواخت الیاف در سوسپانسیون، هریک از دو سوسپانسیون الیاف پوست و ساقه به طور مجزا در دستگاه مخلوط‌کن تحت فشار قرار داده شدند. هریک از دو سوسپانسیون با ۴۰ مرتبه تکرار از درون مخلوط‌کن (تحت فشار ۵۰۰ بار) عبور داده شدند. مخلوط‌کن تحت فشار با برخورداری از انرژی مکانیکی زیاد و فشار بالا، قابلیت شکستن دیواره

کنف کاملاً به خواص زنجیره سلولزی وابسته است، استفاده از روش‌های جداسازی و استخراج مناسب، که موجب تخریب هرچه کمتر زنجیره‌های سلولزی شوند، ضروری به نظر می‌رسد. در این زمینه، تهیه خمیر کاغذ به روش شیمیایی سودا آنتراکینون، می‌تواند منجر به کاهش تخریب بافت سلولزی موجود در الیاف شود و درنهایت میزان آسیب به زنجیره‌های سلولز را به حداقل برساند. گفتنی است این ویژگی روش سودا آنتراکینون ناشی از تغییر گروه‌های فعال سلولز توسط آنتراکینون و درنتیجه کاهش میزان تخریب زنجیره سلولز است [۱].

در این تحقیق، استخراج نانوالیاف سلولزی از الیاف پوست و ساقه کنف (مخلوط پوست و مغز) با هدف ارزیابی مقایسه‌ای خواص مورفولوژیکی، حرارتی، و کریستالیته بین نانوالیاف حاصل از الیاف پوست و ساقه کف انجام شده است. در ادامه، ویژگی‌های مورفولوژیکی نانوالیاف سلولز با استفاده از میکروسکوپ الکترونی عبوری (TEM) بررسی شده و از روش‌های آنالیز اشعه ایکس و اشعه مادون قرمز و نیز آنالیز حرارتی برای بررسی خواص نانوالیاف استفاده شده است.

## مواد و روش‌ها

الیاف پوست و ساقه (مخلوط الیاف پوست و مغز) کنف با استفاده از روش شیمیایی سودا آنتراکینون، و نیز فرایند رنگبری سه مرحله‌ای DEpD، جداسازی و استخراج شد. جداسازی نانوالیاف با استفاده از تیمار مکانیکی انجام شد. پس از انجام تیمارهای شیمیایی و استحصال الیاف پوست و ساقه کنف، ۲۴ گرم از خمیر کاغذ الیاف پوست و ساقه کنف، ۲۴ گرم از الیاف ساقه (در مراحل مجزا)، به مدت ۸ ساعت در ۲ لیتر آب مقطر غوطه‌ور شدند و سپس به مدت ۲۰ دقیقه در دستگاه مخلوط‌کن آزمایشگاهی از نوع

1. High pressure hemogenizer

شد و در دمای محیط آزمایشگاه خشک شد. برای اندازه‌گیری ابعاد نانوالیاف ۱۵۰ عدد از آن‌ها اندازه‌گیری شد.

### اشعة مادون قرمز<sup>۳</sup>

برای شناسایی ساختار شیمیایی نمونه‌ها و نوع گروه‌های عاملی موجود در ساختار آن‌ها از طیف‌سنج زیر قرمز Perkin Elmer (FTIR) مدل 100 (Spectrometer) استفاده شد. این آنالیز در محدوده طول موج  $4000\text{--}500\text{ cm}^{-1}$  انجام شد.

### بررسی ویژگی‌های کریستالی الیاف با پراش اشعه ایکس<sup>۴</sup>

بررسی ساختار کریستالیته و نیز درجه کریستالیته الیاف، با دستگاه اشعه ایکس مدل Philips P W 3040/60 انجام گرفت. میزان طول موج در محدوده ۵ تا ۵۰ درجه قرار داشت و برای تعیین درصد کریستالیته سلولز موجود در الیاف از روش سگال و همکاران [۱۵] استفاده شد.

### آنالیز حرارتی<sup>۵</sup>

آنالیز حرارتی الیاف با هدف تعیین میزان تخریب الیاف بعد از هر مرحله تیمار انجام گرفت. به منظور بررسی میزان پایداری حرارتی الیاف، از یک دستگاه حرارت خطی استفاده شد. این آنالیز در محیط نیتروژن، در دامنه حرارتی ۲۵ تا ۵۵۰ درجه سانتی‌گراد و افزایش حرارت ۱۰ درجه سانتی‌گراد در هر دقیقه انجام شد.

سلولی الیاف را دارد که همین قابلیت، منجر به جداسازی نانوالیاف موجود در الیاف لیگنوسلولزی می‌شود.

### ترکیبات شیمیایی الیاف

ترکیبات شیمیایی الیاف پوست و ساقه کنف بعد از هر مرحله تیمار بررسی شد. بدین ترتیب که ترکیبات شیمیایی الیاف خام، الیاف حاصل از خمیر رنگ‌بری شده، و نانوالیاف استخراج شده اندازه‌گیری شد. برای این منظور، میزان سلولز موجود در نانوالیاف براساس استاندارد TAPPI ۲۰۳om ۹۳ درصد همی‌سلولزها با روش وايز و سورفی [۱۴]، و میزان لیگنین نامحلول در اسید براساس استاندارد شماره ۸۸ TAPPI 222 om اندازه‌گیری شد.

### تصویربرداری الکترونیکی محیطی<sup>۱</sup>

کیفیت اثر هر مرحله از تیمار بر روی مورفولوژی و ساختار الیاف سلولزی با استفاده از میکروسکوپ الکترونیکی محیطی (ESEM) مدل XLC Philips ارزیابی شد. برای تصویربرداری از یک ولتاژ دقیق ۲۰ KW استفاده شد. تمامی نمونه‌ها با لایه نازکی از طلا پوشانده شدند و برای تعیین قطر دقیق الیاف بعد از هر مرحله تیمار، ۱۵۰ عدد فیبر اندازه‌گیری شد.

### تصویربرداری الکترونیکی عبوری<sup>۲</sup>

به منظور بررسی ساختار و اندازه نانوالیاف حاصل میکروسکوپ الکترونی مدل Hitachi H-7100، برای تصویربرداری از تمامی نمونه‌ها از یک ولتاژ دقیق ۸۰ KW استفاده شد. برای آماده‌سازی نمونه‌ها برای تصویربرداری، یک قطره از محلول رقیق شده نانوالیاف (۰/۰۱ درصد) روی صفحه کربن قرار داده

3. Fourier Transform Infrared (FTIR)

4. X-ray diffraction (XRD)

5. Thermogravimetric Analysis (TGA)

1. Environmental Scanning Electron Microscope (ESEM)

2. Transmission Electron Microscope (TEM)

(ترکیب پوست و مغز) شامل مجموعه‌های از دسته‌های الیاف‌اند که با کمک لیگنین به هم چسبیده‌اند و هر کدام از این دسته‌ها نیز خود از الیاف منفردی تشکیل شده‌اند که به‌وسیله لیگنین به یکدیگر متصل شده‌اند. بررسی تصاویر به‌دست‌آمده از میکروسکوپ الکترونی (شکل ۱) نشان‌دهنده قطر بالای الیاف پوست و ساقه کنف تیمارنشده (خام) در مقایسه با الیاف حاصل از خمیر رنگ‌بری شده است؛ به‌طوری که قطر الیاف تیمارنشده (میانگین الیاف پوست و کل ساقه) در محدوده  $10 - 80$  میکرومتر و قطر الیاف حاصل از خمیر رنگ‌بری شده (میانگین الیاف پوست و کل ساقه) در محدوده  $2 - 15$  میکرومتر قرار داشت.

بدیهی است این کاهش قطر با خروج لیگنین و همی‌سلولزها از بافت سلولی کنف در طول فرایند‌های خمیرسازی و رنگ‌بری الیاف ارتباطی مستقیم دارد که درنهایت منجر به استحصال الیاف مجزا با قطر کمتر می‌شود. از طرفی، همان‌طور که در شکل‌های ۱-a و ۱-b مشاهده می‌شود، سطح الیاف پوست و ساقه کنف تیمارنشده با برخی ناخالصی‌ها پوشیده شده؛ در حالی که این الیاف پس از انجام تیمارهای شیمیایی خمیرسازی و رنگ‌بری (شکل‌های ۱-c و ۱-d)، سطوحی کاملاً صاف و صیقلی دارند. منشأ ناخالصی‌های موجود در سطح الیاف تیمارنشده عبارت‌اند از: همی‌سلولزها، لیگنین، پکتین، و نیز ذرات صمغی (مواد استخراجی) موجود در الیاف خام کنف.

## نتایج و بحث

### ترکیبات شیمیایی

آنالیز ترکیبات شیمیایی نانوالیاف حاصل از پوست و ساقه کنف در جدول ۱ نشان داده شده است. بررسی این نتایج نشان می‌دهد مقدار سلولز موجود در نانوالیاف بعد از انجام تیمارهای شیمیایی-مکانیکی برای الیاف پوست و ساقه کنف به‌ترتیب  $93 \pm 0/5$  درصد و  $90$  درصد بوده است. همان‌طور که انتظار می‌رفت، با توجه به اینکه مقدار سلولز اولیه موجود در الیاف پوست کنف خام بیش از مقدار آن در ساقه کنف است، میزان سلولز باقی‌مانده در نانوالیاف حاصل از الیاف پوست در مقایسه با ساقه کنف، بعد از انجام تیمارهای شیمیایی-مکانیکی نیز در سطح بیشتری قرار دارد. با توجه به نتایج حاصل از آنالیز شیمیایی، می‌توان نتیجه گرفت تیمارهای شیمیایی-مکانیکی به کار گرفته شده در این تحقیق نه تنها موجب تخریب ساختار سلولز موجود در الیاف پوست و ساقه کنف نمی‌شود، بلکه سبب افزایش مقدار نسبی سلولز در الیاف نیز می‌شود. میزان سلولز موجود در نانوالیاف حاصل نیز به‌وضوح این نتیجه گیری را تأیید می‌کند.

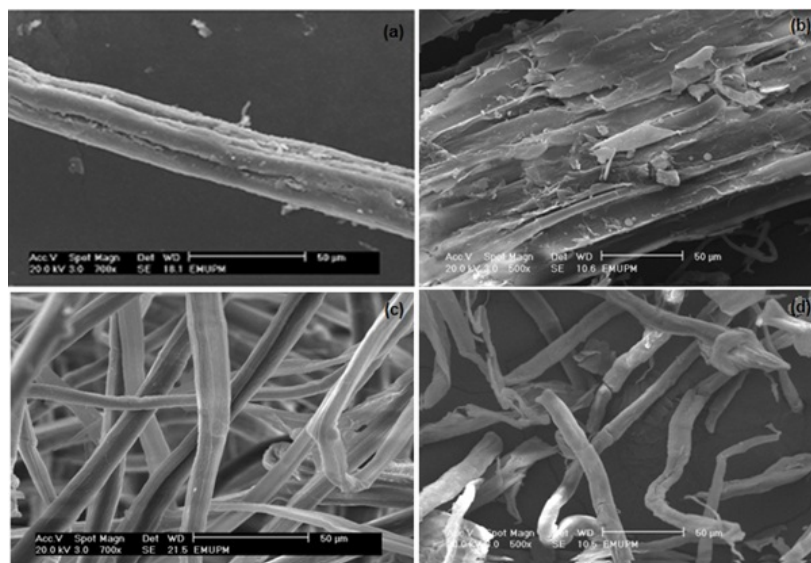
### ویژگی‌های مورفولوژیکی الیاف کنف

#### تیمارشده و تیمارنشده

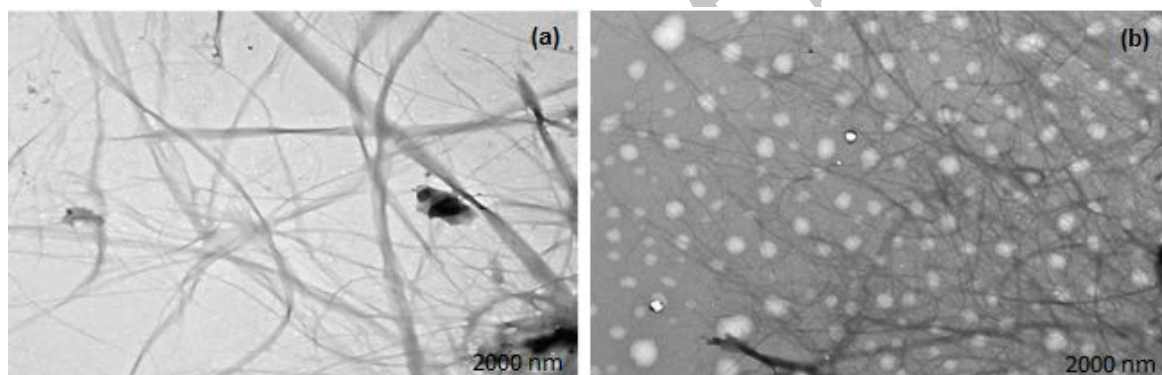
چگونگی تغییر ساختار الیاف پوست و ساقه کنف در طی فرایند تولید خمیر و همچنین عملیات رنگ‌بری در شکل ۱ ارائه شده است. به‌طور کلی، الیاف کنف اولیه در هر دو حالت پوست (خالص) و ساقه

جدول ۱. ترکیبات شیمیایی موجود در نانوالیاف جداشده از پوست و ساقه کنف

مواد / ترکیبات شیمیایی	سلولز (درصد)	همی‌سلولزها (درصد)	لیگنین (درصد)	مواد استخراجی (درصد)
الیاف پوست کنف	$93 \pm 0/5$	$5 \pm 0/7$	$0/5 \pm 0/3$	$0/4 \pm 0/1$
الیاف کل ساقه کنف	$92 \pm 0/5$	$5 \pm 0/7$	$0/5 \pm 0/5$	$0/6 \pm 0/3$



شکل ۱. اشکال میکروسکوپی مربوط به ساختار الیاف پوست و ساقه کنف، قبل و بعد از تیمار شیمیایی: (a) الیاف پوست کنف قبل از تیمار؛ (b) الیاف ساقه کنف قبل از تیمار؛ (c) الیاف پوست کنف بعد از رنگبری؛ (d) الیاف ساقه کنف بعد از رنگبری



شکل ۲. بررسی ابعاد نانوالیاف حاصل از الیاف کنف با استفاده از میکروسکوپ الکترونی عبوری (TEM): (a) نانوالیاف حاصل از الیاف پوست کنف؛ (b) نانوالیاف حاصل از الیاف ساقه کنف

اندازه قطر نانوالیاف حاصل از پوست کنف در محدوده ۹۰–۱۰ نانومتر قرار دارد. به علاوه، بررسی این نتایج نشان می‌دهد قطر نانوالیاف حاصل از پوست کنف بیش از قطر نانوالیاف ساقه کنف بوده و این پدیده می‌تواند به آثار متفاوتی در قابلیت تقویت‌کنندگی این نانوالیاف در ترکیبات پلیمری منجر شود. در این زمینه باید توجه داشت که کاهش قطر نانوالیاف منجر به افزایش نسبت طول به قطر آنها و درنهایت موجب بهبود خواص تقویت‌کنندگی آنها می‌شود.

### مقایسه مورفولوژیکی نانوالیاف حاصل از پوست و ساقه کنف

تصاویر میکروسکوپی مربوط به ویژگی‌های مورفولوژیکی و ابعاد نانوالیاف حاصل از پوست و ساقه کنف، پس از ۴۰ بار عبور از دستگاه مخلوط‌کن با فشار بالا در شکل ۲ نشان داده شده است.

این تصاویر نشان می‌دهند هر دو نوع نانوالیاف حاصل از پوست و ساقه کنف در مقیاس نانو (کمتر از ۱۰۰ نانومتر) به طور کامل استخراج شده‌اند. نتایج حاصل از بررسی ابعاد این ذرات به خوبی نشان داد

آن هاست [۱۸]. همچنین پیک‌های مشاهده شده در ناحیه  $899\text{ cm}^{-1}$  مربوط به پیوندهای گلیکوزیدی موجود در پلی‌ساقاریدهاست. نتایج به خوبی نشان می‌دهد اثر تیمارهای شیمیایی-مکانیکی بر روی ساختار شیمیایی الیاف ساقه و پوست کنف یکسان بوده است؛ به این صورت که گروه‌های فعال موجود در نانوالیاف حاصل از پوست و ساقه در این ناحیه تفاوت محسوسی با یکدیگر ندارند.

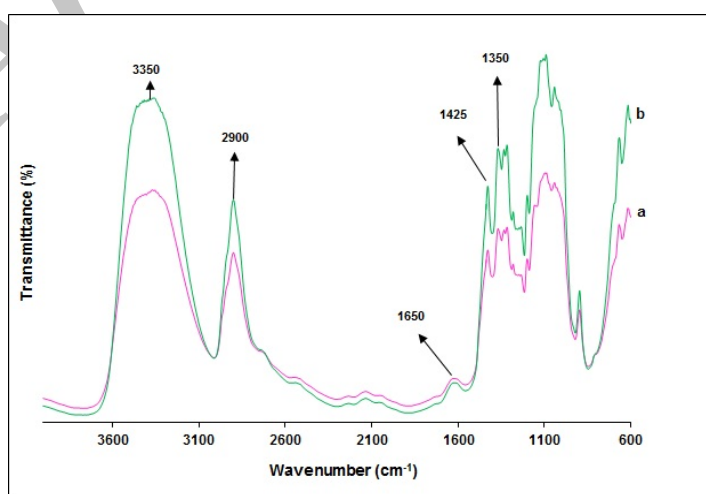
### آنالیز اشعه ایکس

معمولًا برای محاسبه درصد کریستالیت موجود در ساختار الیاف لیگنوسلولزی از اشعه ایکس استفاده می‌شود. این روش یکی از آزمون‌های غیرمخرب است که در بررسی نسبت سلولز موجود در الیاف - که ارتباط نزدیکی با خواص کریستالیت آن‌ها دارد - کارایی زیادی دارد. به منظور تعیین و محاسبه درصد کریستالیت موجود در نانوالیاف، از روش پیشنهاد شده از سوی سگال و همکاران استفاده شد [۱۵]. براساس این روش، پیک‌های موجود در ناحیه  $20\text{ \AA}$  برابر با  $18$  درجه نشان‌دهنده مناطق آمورف و پیک‌های موجود در ناحیه  $20\text{ \AA}$  برابر با  $22/7$  درجه، نشان‌دهنده مناطق کریستالینی سلولزند.

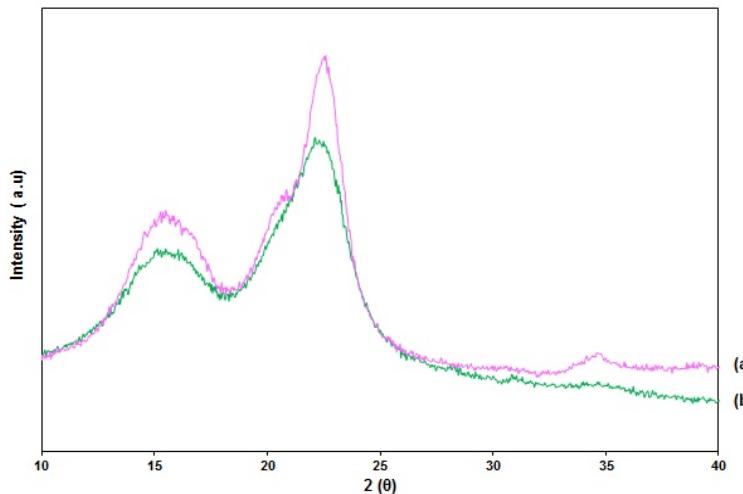
### طیف‌سنجدی اشعه مادون قرمز

به طور کلی، برای بررسی تغییرات ناشی از تیمارهای شیمیایی بر روی گروه‌های فعال موجود در الیاف لیگنوسلولزی از طیف‌سنجدی با اشعه مادون قرمز استفاده می‌شود. نتایج طیف‌سنجدی با اشعه مادون قرمز برای هر دو گروه نانوالیاف جداشده از پوست و ساقه کنف در شکل ۳ نشان داده شده است.

پیک‌های موجود در نواحی  $3300\text{--}3400\text{ cm}^{-1}$  برای هر دو نوع نانوالیاف حاصل از پوست و ساقه کنف مربوط به گروه‌های O-H موجود در این نانوالیاف است و پیک‌های واقع در ناحیه  $2800\text{--}2900\text{ cm}^{-1}$  مرتبط با گروه‌های C-H است [۱۶]. از طرفی، پیک‌های قرارگرفته در ناحیه  $1400\text{ cm}^{-1}$  در هر دو نوع نانوالیاف حاصل از پوست و ساقه کنف نشانه‌ای از وجود گروه‌های  $\text{CH}_2$  در ساختار این نانوالیاف است [۱۷]. گروه‌های C-O و C-O-H می‌توانند با توجه به پیک‌های موجود در نواحی  $1010\text{--}1070\text{ cm}^{-1}$  شناسایی شوند [۱۸]. پیک‌های مشاهده شده در ناحیه  $1320\text{--}1380\text{ cm}^{-1}$  برای هر دو نوع نانوالیاف در ارتباط با گروه‌های C-O و C-H موجود در پلی‌ساقاریدهاست [۱۷] و پیک‌های قرارگرفته در محدوده  $1620\text{--}1650\text{ cm}^{-1}$  برای هر دو نوع نانوالیاف، مرتبط با آب جذب شده توسط



شکل ۳. طیف مادون قرمز: (a) نانوالیاف حاصل از الیاف پوست کنف؛ (b) نانوالیاف حاصل از الیاف ساقه کنف



شکل ۷. بررسی ساختار کریستالینی با استفاده از اشعه ایکس: (a) نانوالياف حاصل از الیاف پوست کنف؛  
(b) نانوالياف حاصل از الیاف ساقه کنف

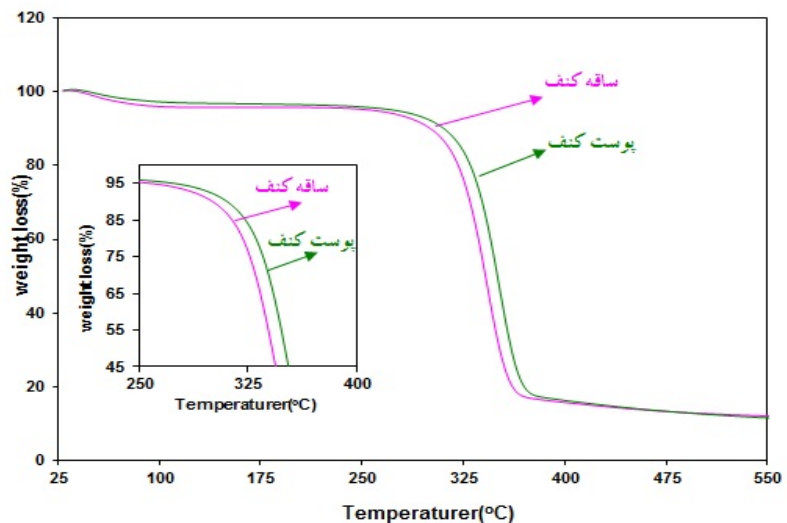
نظر بر این است که کریستالیتی بیشتر می‌تواند باعث افزایش ویژگی‌های مکانیکی الیاف سلولزی شود که این پدیده در نهایت منجر به ارتقای تأثیر تقویت‌کنندگی الیاف سلولزی در چندسازه‌های پلیمری می‌شود. به عبارت دیگر، چندسازه‌های پلیمری تقویت‌شده با ذرات سلولزی دارای درصد کریستالیتی بیشتر، ویژگی‌های مکانیکی مطلوب‌تری خواهند داشت [۱۹].

### آنالیز حرارتی

آنالیز حرارتی الیاف لیگنوسلولزی عموماً به منظور بررسی میزان پایداری این الیاف در برابر حرارت انجام می‌شود. از آنجا که دمای لازم برای پردازش پلیمرهای ترمoplastیک بالاتر از  $200$  درجه سانتی‌گراد بوده و دمای آغاز تخریب حرارتی الیاف لیگنوسلولزی خام نزدیک به  $180$  درجه سانتی‌گراد است، بنابراین، استفاده از این الیاف، به عنوان عوامل تقویت‌کننده پلیمرهای ترمoplastیک، با محدودیت مواجه است [۲۰]. شکل ۵ نتایج آنالیز حرارتی نانوالياف حاصل از پوست و ساقه کنف را نشان می‌دهد. با توجه به نتایج حاصل، درجه حرارت لازم

نتایج حاصل از بررسی ساختار کریستالیتی نانوالياف با استفاده از اشعه ایکس در شکل ۴ نشان داده شده است. همان‌طور که مشاهده می‌شود، الگوی کریستالیتیه برای هر دو نوع نانوالياف حاصل از پوست و ساقه کنف مشابه است که دلیلی بر عدم تغییر ساختار کریستالیتی نانوالياف در طی انجام تیمارها محسوب می‌شود.

محاسبه درصد کریستالیت موجود در نانوالياف براساس روش سگال نشان‌دهنده اختلاف معنی‌دار بین درصد کریستالیت نانوالياف حاصل از پوست و ساقه کنف است. براساس روش سگال، درصد کریستالیت نانوالياف حاصل از پوست و ساقه کنف به ترتیب برابر با  $81$  درصد و  $63$  درصد است. نتایج به خوبی نشان می‌دهد افزایش درصد کریستالیت نانوالياف، به دلیل انجام تیمارهای شیمیایی و مکانیکی است که با حذف بخش‌های آمورف سبب افزایش بخش کریستالین سلولز می‌شوند. از طرف دیگر، اختلاف موجود بین درصد کریستالیت نانوالياف حاصل از پوست و ساقه کنف را می‌توان ناشی از مقدار سلولز باقی‌مانده در نانوالياف، بعد از انجام تیمارهای شیمیایی و مکانیکی، دانست [۱۹].



شکل ۵. نتایج آنالیز حرارتی نانوالیاف حاصل از الیاف پوست کنف و نانوالیاف حاصل از الیاف ساقه کنف

به دست آمده از ساقه کنف نسبت داد [۱۷].

بررسی نتایج حاصل از آنالیز حرارتی به وضوح نشان داد نانوالیاف سلولزی در مقایسه با الیاف لیگنوسلولزی از پایداری حرارتی به مراتب بالاتری در مقابل گرمابرخوردارند که این ویژگی می‌تواند دامنه کاربرد آنها را در پلیمرهای ترمومپلاستیکی گسترش دهد.

### نتیجه‌گیری

در این تحقیق نانوالیاف سلولزی موجود در الیاف پوست و ساقه کنف با استفاده از تیمارهای شیمیایی - مکانیکی با موفقیت استخراج شدند. تیمارهای شیمیایی استفاده شده در این تحقیق عبارت بودند از: فرایند خمیرسازی به روش سودا-آنتراکینون و فرایند رنگبری سه مرحله‌ای DEPD. نتایج مطالعات انجام شده با میکروسکوپ الکترونیکی نشان داد قطر نانوالیاف موجود در الیاف پوست و ساقه کنف کمتر از ۱۰۰ نانومتر بوده و میانگین قطر نانوالیاف حاصل از الیاف پوست بیشتر از میانگین قطر نانوالیاف حاصل از ساقه بود. بررسی ترکیبات شیمیایی موجود

برای تخریب عملده نانوالیاف حاصل از پوست کنف ۳۵۱ درجه سانتی گراد، و برای نانوالیاف حاصل از ساقه کنف ۳۴۰ درجه سانتی گراد ثبت شده است. نتایج نشان می‌دهد دمای آستانه تخریب الیاف لیگنوسلولزی، بعد از انجام تیمارهای شیمیایی مکانیکی، با افزایش مواجه می‌شود. به عبارت دیگر، نانوالیاف استخراج شده از الیاف با استفاده از تیمارهای شیمیایی - مکانیکی، در مقایسه با الیاف خام لیگنوسلولزی از دمای آستانه تخریب بالاتری برخوردارند. این پدیده را می‌توان به افزایش درصد کریستالیت نانوالیاف حاصل از تیمارهای شیمیایی - مکانیکی در مقایسه با الیاف لیگنوسلولزی خام نسبت داد [۲۱].

از طرف دیگر، با مقایسه دمای آستانه تخریب حرارتی نانوالیاف حاصل از الیاف پوست کنف با نانوالیاف حاصل از الیاف ساقه آن این نکته مشخص می‌شود که نانوالیاف حاصل از الیاف پوست از دمای آستانه تخریب بالاتری برخوردارند. این پدیده را می‌توان به بیشتر بودن درصد کریستالیت نانوالیاف حاصل از پوست کنف در مقایسه با نانوالیاف

آنها مشاهده نمی‌شود. آنالیز الیاف با استفاده از اشعه ایکس بیشتر بودن درجه کریستالیتۀ نانوالیاف به دست آمده از پوست کنف در مقایسه با نانوالیاف حاصل از ساقۀ کنف را تأیید کرد. بررسی نتایج به دست آمده از آنالیز حرارتی نشان داد نانوالیاف حاصل از پوست کنف در مقایسه با نانوالیاف حاصل از ساقۀ کنف از مقاومت حرارتی بالاتر و دمای آستانه تخریب بیشتری برخوردارند.

در نانوالیاف تیمارشده بیانگر افزایش درصد سلولز آنها در مقایسه با الیاف تیمارشده بود که البته این افزایش برای نانوالیاف حاصل از پوست کنف بیشتر از مقدار آن در نانوالیاف استخراج شده از ساقۀ کنف بود.

نتایج حاصل از آنالیز الیاف با استفاده از اشعه مادون قرمز، به خوبی نشان داد گروه‌های فعال باقی‌مانده در نانوالیاف بعد از تیمارهای شیمیابی-mekanikی کاملاً یکسان بوده و اختلاف معنی‌داری بین

## References

- [1]. Jonoobi, M., Harun, J., Shakeri, A., Misra, M., and Oksman, K. (2009). Chemical composition, crystallinity, and thermal degradation of bleached and unbleached kenaf (*Hibiscus cannabinus*) pulp and nanofibers. *BioRessources*, 4: 626-639.
- [2]. Jonoobi, M., Harun, J., Tahir, P.Md., Shakeri, A., SaifulAzry, S., and Davoodi, M.M. (2010). Physicochemical characterization of kenaf stem fibers. *Material Letters*, 65: 1098-1100.
- [3]. Jonoobi, M., Khazaian, A., Tahir, P.Md., SaifulAzry, S., and Oksman, K. (2011). Characteristics of cellulose nanofibers isolated from rubberwood and empty fruit bunches of oil palm using chemo-mechanical process. *Cellulose*, 18: 1085-1095.
- [4]. Jonoobi, M., Mathew, A.P., and Oksman, K. (2009). Producing low-cost cellulose nanofiber from sludge as new source of raw materials. *Industrial Crops and Products*, 40: 232-238.
- [5]. Jonoobi, M., Harun, J., Mathew, A.P., and Oksman, K. (2010). Mechanical properties of cellulose nanofiber (CNF) reinforced polylactic acid (PLA) prepared by twin screw extrusion. *Composites Science and Technology*, 70: 1742-1747.
- [6]. Jonoobi, M., Mathew, A.P., Abdi, M.M., Davoodi, M.M., and Oksman, K. (2012). A comparison of modified and unmodified cellulose nanofiber reinforced polylactic acid (PLA) prepared by twin screw extrusion. *Journal of Polymers and the Environment*, 20: 991-997.
- [7]. Herrick, F.W., Casebier, R.L., Hamilton, J.K., and Sandberg, K.R. (1983). Micro-fibrillated cellulose: Morphology and accessibility. *Journal of Applied Polymer Science*, 37: 797-813.
- [8]. Chakraborty, A., Sain, M., and Kortschot, M. (2005). Cellulose microfibrils: A novel method of preparation using high shear refining and cryocrushing. *Holzforschung*, 59: 102-107.
- [9]. Jonoobi, M., Harun, J., Mathew, A.P., Hussein, M.Z.B., and Oksman, K. (2010). Preparation of cellulose nanofibers with hydrophobic surface characteristics. *Cellulose*, 17: 299-307.
- [10]. Hubbe, M.A., Rojas, O.J., Lucia, L.A., and Sain, M. (2008). Cellulosic nanocomposites: A Review. *BioRessourcess*, 3:929-980.
- [11]. Kamel, S. (2007). Nanotechnology and its applications in lignocellulosic composites, a mini review. *eXPRESS Polymer Letters*, 1: 546-575.
- [12]. Liu, W., Drzal, L.T., Mohanty, A.K., and Misra, M. (2007). Influence of processing methods and fiber length on physical properties of kenaf fiber reinforced soy based biocomposites. *Composites Part B*, 38: 352-359.
- [13]. Ochi, S. (2008). Mechanical properties of kenaf fibers and kenaf/PLA composites. *Mechanics of Materials*, 40:446-452.
- [14]. Wise, L.D, Murphy, M., and D'Addiego, A.A. (1946). Chlorite holocellulose, its fractionation and bearing on summative wood analysis and on studies on hemicellulose. *Paper Trade Journal*, 112:35-43.
- [15]. Segal, L., Creely, L., Martin, A.E., and Conrad, C.M. (1959). An empirical method for estimating the degree of crystallinity of native cellulose using X-ray diffractometer. *Textile Research Journal*, 29: 786-794.
- [16]. Khalil, H.P.A., Ismail, H., Rozman, H.D., and Ahmad, M.N. (2001). The effect of acetylation on interfacial shear strength between plant fiber and various matrices. *European Polymer Journal*, 37: 1037-1045.
- [17]. Troedec, M., Sedan, D., Peyratout, C., Bonnet, J., Smith, A., Guinebretiere, R., Gloaguen, V., and Krausz, P. (2008). Influence of various chemical treatments on the composition and structure of hemp fibers. *Composites Part A*, 39: 514-522.
- [18]. Nacos, M., Katapodis, P., Pappas, C., Daferera, D., Tarantilis, P.A., Christakopoulos, P., and Polissiou, M. (2006). Kenaf xylan-A source of biologically active acidic oligosaccharides. *Carbohydrate Polymers*, 66: 126-134.
- [19]. Alemdar, A., and Sain, M. (2007). Isolation and characterization of nanofibers from agricultural residues – Wheat straw and soy hulls. *Bioresource Technology*, 99: 1664-1671.

- [20]. Fisher, T., Hajaligol, M., Waymack, B., and Kellogg, D. (2002). Pyrolysis behaviour and kinetics of biomass derived materials. *Journal of Analytical and Applied Pyrolysis*, 2: 331-349.
- [21]. Yang, H., Yan, R., Chen, H., Lee, D., and Zheng, C. (2007). Characteristics of hemicellulose, cellulose, and lignin pyrolysis. *Fuel*, 86: 1781-1788.

Archive of SID